

国立防災科学技術センター 正会員 岸井虎雄
同 橋本明
同 西口哲夫

流出現象は一般に Slope process と Channel process から成っている。これらが process を合成により大きい流域のハイドログラフを推定する場合、流域重ね合せをどの程度まで行なう流域面積まで可能かを検討することは大切であり、逆に、大流域のハイドログラフから、小流域のハイドログラフを推定する手かりとなる。既往の研究では 10^1 km^2 のオーダーの小流域のハイドログラフを合成して 10^3 km^2 のオーダーの大流域のハイドログラフを比較した例がある。我々はさらに小さい下流の流域について小流域のハイドログラフを流域全体で重ね合せし、その流域を含む大流域のハイドログラフの実測値と比較した。流域面積が小さくなる程、Slope process の効果が車載式雨量計では、Slope process の複数性が成立しているか否かの検討を行なうことになる。

試験流域は千葉県卷毛川流域(8.6 km²)内の一級谷(15 ha)とそれに含まれる 3 次谷(1.9 ha)である。流量観測は 3 次谷では、18 mm/hr⁻¹ の連続雨量計を用い、3 次谷では 5~15 分間隔で水位標と目視し、セキの公式に到達量を変換した。

3 次谷のハイドログラフを面積積算中間に重ね合せし、3 次谷の実測ハイドログラフと比較したのが図-1である。ここで平均流速は 80 cm/sec 時の実測値 0.3 m/sec を用いた。図-1 におけるハイドログラフ立ち上がり以前の低水部で、合成値と実測値で 2 倍程度の差がある。 0.50 m/sec より大きい減水部において合成値と実測値に差がある。このことは大流域と小流域との間の流出成分の違いを推定できる。

次にハイドログラフの立ち上がり部、および 50 cm/sec 以上の部分、即ち直角流出成分が卓越する範囲では合成値と実測値はよく合っている。ただ peak 付近のハイドログラフの形状が合っていないが、これは 3 次谷の観測が 5~15 分間隔の不連續観測であり単位時間合成する peak 付近の流量を内もじたため実測値より滑らかな変動を示していると推定される。

以上のことがから、洪水の peak を含むハイドログラフ主要部分即ち、地盤地形が加えて直角流出が卓越する部分では、小流域を単位流域とするハイドログラフの流域重ね合せによって大流域のハイドログラフを推定できる。

しかし、ハイドログラフの立ち上がり部では、単に Slope process と Channel process の複数重ね合せだけではなく、流域の地表面下で生起する半減期の大きい流出成分を作ることで、それが入ればそれほどはない。

今後は、さらに事例を増し $2 \cdot 10^1 \text{ km}^2$ の流域のハイドログラフを 10^2 km^2 の流域に拡大して場合を検討して行きたい。

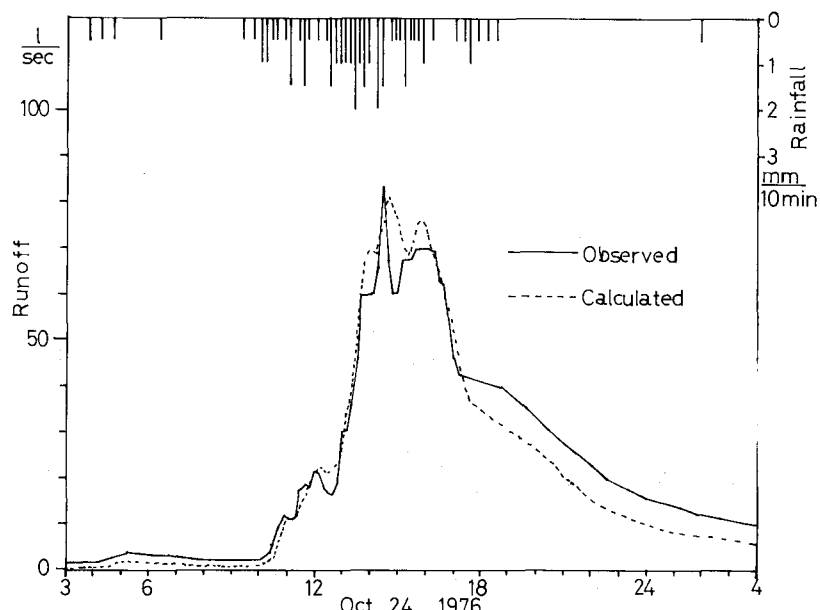


図-1 1次谷のハイドログラフの合成